

114 動吸振器を利用したカメラ内部ミラーモデルの振動抑制

Vibration Reduction for the Internal Mirror of a SLR Camera by a Dynamic Absorber

○ 正 松本大樹 (室蘭工大) 正 斎当建一 (室蘭工大) 近藤健太 (フジキン)

Hiroki MATSUMOTO, Muroran Institute of Technology, 27-1 Mizumoto-cho, Muroran-shi, Hokkaido

Ken-ichi SAITO, Muroran Institute of Technology

Kenta KONDOH, Fujikin Incorporated

Key Words: Vibration reduction, Dynamic absorber, SLR Camera, Rebound

1 緒言

一眼レフカメラは、プロ用も含めて様々な用途で古くから利用されている。現状ではその多くがデジタル化されているが、基本的な機構は大きくは変わらない。すなわち、被写体からの光線はレンズを通った後、内部ミラーにより、ファインダーとオートフォーカス用の素子の2方向に分光され、オートフォーカスが行われるのと同時にファインダーでその様子を肉眼で確認することができるようになっている。次にシャッターボタンが押されると、内部ミラーは上方に跳ね上がって、被写体からの光線をフィルム、もしくはCCDへと通過させる。その瞬間、ファインダーは一度ブラックアウトし、感光(CCDへの記録)が終了すると、ミラーは再び元の位置に戻り、次のコマの撮影の準備に入る。この際にミラーは、ミラーの初期位置を決めるストップバーへと高速に衝突することとなり、その反動で跳ね返ることがある。この跳ね返りが抑制できない場合、被写体からの光線は正常にオートフォーカス素子へ導かれず、ピントを合わせることができなくなる。つまり、ミラーの跳ね返りが取まらないと次のコマの撮影ができないタイムラグが生じることになる。これまで高速な連続撮影の実現のために、振動を押さえる様々な工夫がなされてきたが、その機構は複雑で比較的高コストである。そこで、本研究ではミラーの跳ね返り振動を動吸振器を利用して抑制することを目的に、コンパクトかつ低コストな振動抑制手法を提案する。本報告では、動吸振器の最適な質量、ばね定数および減衰係数を検討した結果を報告する。

2 ミラーモデル

本研究では、動吸振器の効果を確かめるために、実際の内部ミラーとほぼ同じ大きさのアルミニウム製のモデルを制振対象とする。また、ミラーは実機ではなく力によって駆動されることになるが、ここでは水平位置より自由落下させてストップバーに衝突させる。その際の跳ね返り量が小さくなるような動吸振器を検討する。Fig.1にミラーモデルの跳ね返り量の計測状況を示す。ミラーモデルは固定軸方向の幅40mm、高さ30mm、厚さ1mmの長方形平板で、Fig.1に示すように一端を直径2mmの軸によって回転支持されている。水平位置よりミラーが45degの位置を原点とし、水平位置から自由落下させ、その際に跳ね返った変位をレーザー変位計により計測し、角度に変換して評価する。計測位置はミラーモデルの中央上端から5mmの位置である。計測値は10回の平均値を用いている。ストップバーの位置は、ミラーモデル前面右端を原点とし、前辺を20mmまで、右辺10mmまでを1mm間隔で変化させた。ストップバーはジュラルミン製の直径4mmの円柱であり、円筒面でミラーモデルと接触させた。

ミラーモデルを水平位置から自由落下させると、回転してストップバーと衝突する。その後は、Fig.(3)のように、跳ね上がりと自由落下を繰り返す挙動となる。ここでは、ミラーモデルに対してインパルス力が繰り返し働く力学系と考え、インパルス力の入力後の応答ができるだけ小さくなるように、ミラーモ

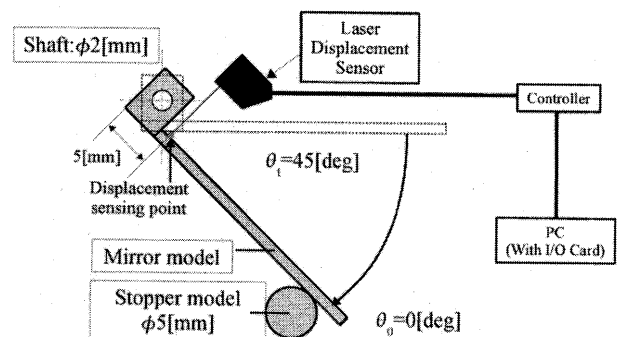


Fig.1 Experimental setup

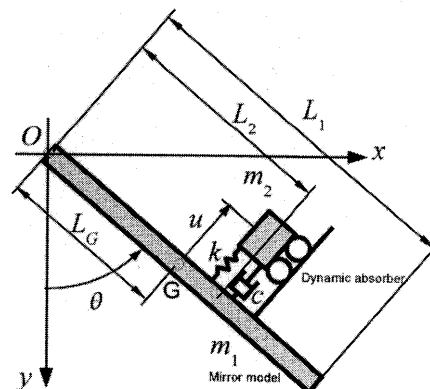


Fig.2 Schematic diagram of a mirror model

デルの周波数応答を求ることで、抑制効果を検討する。

3 理論解析

ミラーモデルの挙動を一次元の回転運動とし、動吸振器をミラーモデル上で直線運動すると仮定する。Fig.2に力学モデルを示す。図中に示すようにミラーモデルの質量をm₁、動吸振器の質量をm₂とし、動吸振器のばねのばね定数をk、粘性減衰係数をcとする。ミラーモデルの全長をL₁、動吸振器の取り付け位置をL₂、ミラーモデルの重心の位置をL_Gとする。動吸振器はミラーモデルと垂直方向に動くものとして、その変位をuとする。ミラーモデルは鉛直下向きを原点として半時計回りに回転角θでその位置を示す。

ミラーモデルと動吸振器、それぞれの運動エネルギー、ポテンシャルエネルギーおよび散逸関数を求めるとき、

$$T = \frac{1}{2}I\dot{\theta}^2 + \frac{1}{2}m_2(L_2\dot{\theta}^2 + u^2u^2\dot{\theta}^2 + 2L_2\dot{u}\dot{\theta}) \quad (1)$$

$$U = m_1gL_G(1 - \cos\theta) + m_2g\{L_2(1 - \cos\theta) + u\sin\theta\} + \frac{1}{2}ku^2$$

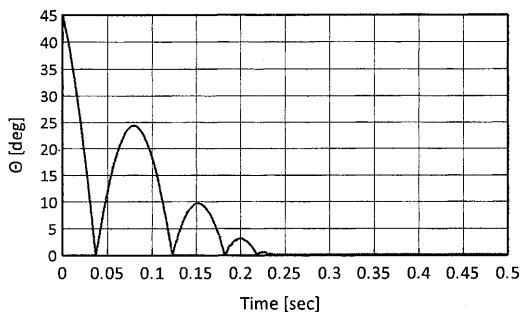


Fig.3 Rebound vibration of a mirror model

(2)

$$F = \frac{1}{2} c \ddot{\theta}^2 \quad (3)$$

周波数応答を求めるために、ミラーモデルに周期的外力が作用すると仮定して、ラグランジュの運動方程式を考え、整理すると、

$$I\ddot{\theta} + m_2(L_2^2\ddot{\theta} + 2u\dot{\theta}\dot{\theta} + u^2\ddot{\theta} + L_2\ddot{u}) + m_1gL_G \sin\theta + m_2g(u \cos\theta + L_2 \sin\theta) = PL_G e^{j\omega t} \quad (4)$$

$$m_2(L_2\ddot{\theta} + \ddot{u}) + m_2g \sin\theta - m_2u\dot{\theta}^2 + c\dot{\theta} + ku = 0 \quad (5)$$

これよりミラーモデルの角振幅を求め、無次元化すると

$$\left| \frac{\Theta}{\Theta_{st}} \right| = \sqrt{\frac{A^2 + 4\zeta^2 B^2}{C^2 + 4\zeta^2 D^2}} \quad (6)$$

ここで、

$$\begin{aligned} A &= f^2 - h^2 \\ B &= h \\ C &= \frac{4}{3}h^4 - h^2 \left(1 + \frac{4}{3}f^2 + f^2\mu\gamma^2 - \mu\gamma \right) + f^2 + f^2\mu\gamma - \mu \\ D &= h \left\{ -h^2 \left(\frac{4}{3} + \mu\gamma f^2 \right) + 1 + \mu\gamma \right\} \end{aligned} \quad (7)$$

さらに

$$\begin{aligned} \mu &= \frac{m_2}{m_1}, \quad \gamma = \frac{L_2}{L_G}, \quad \Omega^2 = \frac{g}{L_G} \quad \omega_a^2 = \frac{k}{m_2} \\ \zeta &= \frac{c}{2m_2\Omega}, \quad f = \frac{\omega_a}{\Omega}, \quad h = \frac{\omega}{\Omega}, \quad \Theta_{st} = \frac{\omega}{m_1 g} \end{aligned} \quad (8)$$

である。

4 最適化

式(6)は一般的な動吸振器モデルでの主系の振幅にあたり、この各加振周波数に対して最小になるように、付加系の質量および主系との接続に用いられるばね定数、粘性減衰係数を決定する⁽¹⁾。まず始めに、式(6)において減衰比 $\zeta = \infty$ と $\zeta = 0$ の場合の2本の共振曲線の交点である不動点での無次元加振周波数 h_p , h_Q を決定する。次にそのときの高さが最大値になるよう付加系の固有振動数、すなわち、 f を決定する。さらに、P, Q点で応答倍率が極大値になるように、 h による偏微分値が0にある条件を当てはめて、減衰比を求める。その結果、得られた固有振動数比は

$$f = \frac{\sqrt{12 + 24\mu}}{4 + 3\mu\gamma^2} \quad (9)$$

であり、P点が極大値になる場合の減衰係数は

$$\zeta_P = \frac{1}{2} \sqrt{\frac{AA' - \left| \frac{\Theta}{\Theta_{st}} \right|^2 CC'}{-BB' + \left| \frac{\Theta}{\Theta_{st}} \right|^2 DD'}} \quad (10)$$

である。ここで、「」は h に関する偏微分を表している。この ζ_P はQ点と値が若干異なるが、相加平均を用いて最適な値を求める。

5 計算結果

Fig.4に計算結果を示す。 $\mu = 0.2$, $\gamma = 0.5$ の場合で、最適調整を行った結果である。ミラーモデルをアルミニウム(質量3.27g)とすると、動吸振器に質量は0.6g、取り付け位置は回転軸より7mmの位置となる。共振点のピークは $\zeta = 0$ と $\zeta = \infty$ の場合のグラフの交点付近に現れ、最適調整により適切な ω_a , ζ が選択されていることがわかる。

次に、Fig.5に動吸振器の取り付け位置を変化させて計算した結果を示す。 ζ の決定後、 μ を一定にして動吸振器の質量を固定し、 γ を変化させその取り付け位置の影響を検討する。Fig.5に計算結果を示す。 γ が小さくなるほど応答倍率は小さくなり、動吸振器の効果が高くなる傾向がある。このことから、動吸振器の取り付け位置は、ミラーモデルの重心より固定軸方向にできるだけ離して取り付けたほうが動吸振器の効果が高くなることがわかるが、実際にはむやみに近づけることができないため、0.2以下にすることはできないと思われる。

6 結言

本検討よってミラーの振り子運動を抑制するための動吸振器の取り付け位置は、ミラーの重心よりも回転軸寄りに取り付けることで、抑制効果が高くなることがわかった。これにより周波数応答の応答振幅は小さくなり、跳ね返り現象においても跳ね返り量が小さくなることが期待できる。今後実験により検証を進める。動吸振器のモデルは実体と異なるため、より実際に近づくようモデルの再検討も進めていく予定である。

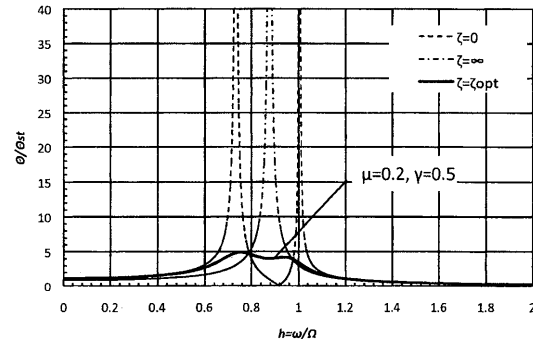
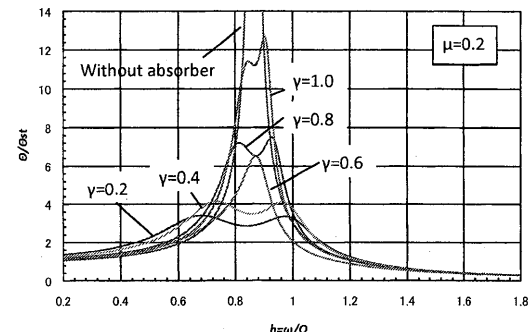


Fig.4 Resonance curve of mirror model with a dynamic absorber.

Fig.5 Effect of parameter γ on the resonance curve.

参考文献

- (1) 松久寛, 顧榮榮, 王永金, 西原修, 佐藤進, 機論, 59-562, C(1993), 1717